
УДК 536.421.4

НАПРАВЛЕННОЕ ЗАТВЕРДЕВАНИЕ С ДВУХФАЗНОЙ ЗОНОЙ С УЧЕТОМ ЗАВИСИМОСТИ ПЛОТНОСТИ ЖИДКОЙ ФАЗЫ ОТ ТЕМПЕРАТУРЫ И КОНЦЕНТРАЦИИ ПРИМЕСИ

© 2020 г. Д. В. Александров^{а, *}, И. В. Александрова^а, А. А. Иванов^а,
И. О. Стародумов^а, Л. В. Торопова^а

^аУральский федеральный университет им. Б.Н. Ельцина,
кафедра теоретической и математической физики,
Лаборатория многомасштабного математического моделирования, Екатеринбург, Россия
*e-mail: dmitri.alexandrov@urfu.ru

Поступила в редакцию 17.05.2019 г.

После доработки 28.05.2019 г.

Принята к публикации 16.06.2019 г.

Исследован процесс квазистационарной кристаллизации бинарной системы с двухфазной областью при учете зависимости плотности жидкой фазы от температуры и концентрации примеси. Определены аналитические решения нелинейной системы уравнений тепло- и массопереноса. Найдены распределения концентрации примеси, температуры и доли твердой фазы, скорость процесса затвердевания и положения межфазных границ твердая фаза–двухфазная область и двухфазная область–жидкая фаза.

Ключевые слова: фазовые переходы, направленная кристаллизация, двухфазная область

DOI: 10.31857/S0235010620010028

ВВЕДЕНИЕ

Процессы структурно-фазового превращения из жидкого состояния в твердое лежат в основе многих технологических процессов получения материалов с необходимыми свойствами [1–6]. Часто такие процессы протекают при наличии области (двухфазной зоны), заполненной растущими элементами твердого материала и жидкостью. Особенности процесса кристаллизации в двухфазной зоне определяют формирующиеся свойства твердого материала, получаемого путем затвердевания из жидкого состояния.

Первые математические модели затвердевания с двухфазной зоной были предложены в работах [6–8]. Эти модели описываются нелинейными интегро-дифференциальными уравнениями переноса тепла и примеси при наличии движущихся границ структурно-фазовых превращений, законы движения которых неизвестны и должны быть определены из решения задачи. Отметим, что общих методов решения таких задач не существует и каждый отдельный процесс требует разработки особенных (зачастую уникальных) подходов к решению модели.

Следует специально подчеркнуть разработанный ранее метод перехода к новой независимой переменной (доле твердой фазы в двухфазной зоне) для интегрирования нелинейных уравнений квазиравновесной двухфазной области (когда переохлаждение компенсируется выделяемой теплотой фазового превращения при росте твердой фазы), кристаллизующейся с постоянной скоростью [9–12]. Аналитический метод, основанный на разложении искомых функций в степенные ряды по автомодельной

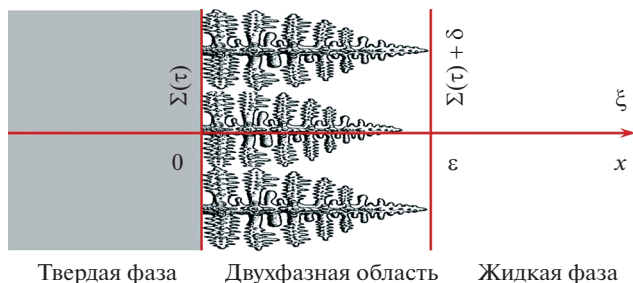


Рис. 1. Схематическая иллюстрация процесса направленной кристаллизации с двухфазной областью.

переменной, был разработан в статьях [13, 14] для описания процесса кристаллизации бинарного расплава, когда скорость движения границ двухфазной зоны обратно пропорциональна квадратному корню из времени. Затем этот метод был применен в работах [15, 16] для описания автомодельной кристаллизации трехкомпонентных систем с двумя областями фазового превращения — основной и котектической двухфазными зонами. Аналитические методы описания нестационарной кристаллизации, когда динамика движения межфазных границ квазиравновесной двухфазной области зависит от временных изменений температуры на охлаждаемой поверхности, были предложены в серии работ [17–23]. Отметим также еще методы аналитического решения уравнений неравновесной двухфазной зоны (когда в модели учитывается нуклеация и рост кристаллов), развитые в работах [23–26].

В настоящей работе предложен метод решения нелинейных уравнений квазиравновесной двухфазной области, затвердевающей с постоянной скоростью, когда плотность жидкой фазы определяется линеаризованным уравнением состояния (зависит от температуры и концентрации примеси в области фазового превращения).

МОДЕЛЬ ТЕПЛО- И МАССОПЕРЕНОСА

Рассмотрим процесс направленной кристаллизации бинарной системы вдоль пространственной оси ξ (рис. 1). Двухфазная область располагается между чисто твердым материалом ($\xi < \Sigma(\tau)$) и чисто жидкой фазой ($\xi > \Sigma(\tau) + \delta$) и имеет протяженность δ . Здесь τ и $\Sigma(\tau)$ обозначают время и координату межфазной границы твердый материал – двухфазная область. Уравнения теплопроводности и диффузии примеси в области фазового превращения ($\Sigma(\tau) < \xi < \Sigma(\tau) + \delta$) имеют вид:

$$\rho_m C_m \frac{\partial \theta_m}{\partial \tau} = \frac{\partial}{\partial \xi} \left(\lambda_m \frac{\partial \theta_m}{\partial \xi} \right) + L_V \frac{\partial \varphi}{\partial \tau}, \quad (1)$$

$$\frac{\partial}{\partial \tau} [(1 - \varphi) \sigma_m] = \frac{\partial}{\partial \xi} \left(D_m \frac{\partial \sigma_m}{\partial \xi} \right) - k \sigma_m \frac{\partial \varphi}{\partial \tau}, \quad (2)$$

где температура θ_m и концентрация примеси σ_m связаны уравнением линии ликвидус

$$\theta_m = \theta_L(\sigma_0) + \Gamma(\sigma_m - \sigma_0). \quad (3)$$

Здесь введены следующие обозначения: ρ_m и C_m — плотность и теплоемкость двухфазной системы, λ_m и D_m — коэффициенты теплопроводности и диффузии примеси в двухфазной области, L_V и k — скрытая теплота кристаллизации и коэффициент распределения примеси, φ и Γ — доля твердой фазы в двухфазном регионе и коэффициент наклона линии ликвидус, σ_0 и θ_L — характерная концентрация примеси и темпе-

ратура ликвидуса. Коэффициенты переноса в двухфазном слое запишем в соответствии с правилом смесей [27]

$$\rho_m C_m(\varphi) = \rho_l C_l(1 - \varphi) + \rho_s C_s \varphi, \quad \lambda_m(\varphi) = \lambda_l(1 - \varphi) + \lambda_s \varphi, \quad D_m(\varphi) = D_l(1 - \varphi), \quad (4)$$

где ρ_l и ρ_s – плотности жидкой и твердой фаз, C_l и C_s – их теплоемкости, а D_l – коэффициент диффузии примеси в расплаве (диффузией примеси в твердой фазе пренебрегаем).

Плотность жидкой фазы будем описывать линейризованным уравнением состояния

$$\rho_l = \rho_0 [1 - \alpha^*(\theta_m - \theta_L(\sigma_0)) + \beta^*(\sigma_m - \sigma_0)], \quad (5)$$

где ρ_0 – характерная плотность, а α^* и β^* – коэффициенты расширения, соответствующие температуре и концентрации примеси.

Граничные условия на межфазных поверхностях твердая фаза–двухфазная область ($\xi = \Sigma(\tau)$) и двухфазная область–жидкость ($\xi = \Sigma(\tau) + \delta$), имеют вид [6–10]

$$\lambda_s \frac{\partial \theta_s}{\partial \xi} - \lambda_m \frac{\partial \theta_m}{\partial \xi} = L_V(1 - \varphi_*) \frac{d\Sigma}{d\tau}, \quad (1 - k)(1 - \varphi_*) \sigma_m \frac{d\Sigma}{d\tau} + D_m \frac{\partial \sigma_m}{\partial \xi} = 0, \quad \xi = \Sigma(\tau), \quad (6)$$

$$\sigma_m = \sigma_l, \quad \frac{\partial \sigma_m}{\partial \xi} = \frac{\partial \sigma_l}{\partial \xi}, \quad \frac{\partial \theta_m}{\partial \xi} = \frac{\partial \theta_l}{\partial \xi}, \quad \varphi = 0, \quad \xi = \Sigma(\tau) + \delta. \quad (7)$$

Здесь θ_s и θ_l – температуры в твердой и жидкой фазах, а σ_l и φ_* – концентрация примеси в расплаве и доля твердой фазы на границе $\xi = \Sigma(\tau)$.

Будем рассматривать процесс направленной кристаллизации при фиксированных градиентах температуры в твердой (g_s) и жидкой (g_l) фазах, а распределение концентрации примеси в расплаве – моделировать стандартным уравнением диффузии примеси, т.е.

$$\frac{\partial \theta_s}{\partial \xi} = g_s, \quad \xi < \Sigma(\tau), \quad \frac{\partial \theta_l}{\partial \xi} = g_l, \quad \xi > \Sigma(\tau), \quad \frac{\partial \sigma_l}{\partial \tau} = D_l \frac{\partial^2 \sigma_l}{\partial \xi^2}, \quad \xi > \Sigma(\tau) + \delta, \quad (8)$$

$$\sigma_l \rightarrow \sigma_0, \quad \xi \rightarrow \infty.$$

Отметим, что δ , g_s и g_l считаются неизменными величинами в установившемся процессе затвердевания с постоянной скоростью $d\Sigma/d\tau = u_s$. Модель этого процесса кристаллизации (1)–(8) является нелинейной дифференциальной моделью в частных производных с двумя движущимися границами фазового превращения. Общих методов решения таких задач не существует, а рассматриваемый ниже метод является оригинальным подходом, позволяющим получить аналитические решения модели (1)–(8).

МЕТОД РЕШЕНИЯ НЕЛИНЕЙНОЙ МОДЕЛИ С ДВУХФАЗНОЙ ОБЛАСТЬЮ

Для удобства дальнейшего решения введем безразмерные переменные и параметры следующим образом:

$$x = \frac{u_s}{D_l}(\xi - u_s \tau), \quad c_m = \frac{\sigma_m}{\sigma_0}, \quad c_l = \frac{\sigma_l}{\sigma_0}, \quad T_m = \frac{\theta_m}{m\sigma_0}, \quad \Lambda_0(\varphi) = \frac{\lambda_m(\varphi)}{\lambda_s},$$

$$\tilde{\beta} = (\beta^* + m\alpha^*)\sigma_0, \quad R = \frac{\rho_s C_s}{\rho_l C_l}, \quad m = -\Gamma, \quad T_0 = \frac{\theta_0}{m\sigma_0}, \quad \theta_0 = \theta_L(\sigma_0) - \Gamma\sigma_0, \quad (9)$$

$$a_1 = \frac{\lambda_s}{\rho_0 C_l D_l}, \quad a_2 = \frac{L_V}{\rho_0 C_l m \sigma_0}, \quad \tilde{L}_V = \frac{L_V D_l}{\lambda_s m \sigma_0}, \quad G_s = \frac{g_s D_l}{u_s m \sigma_0}, \quad G_l = \frac{g_l D_l}{u_s m \sigma_0},$$

$$\varepsilon = \frac{u_s \delta}{D_l}, \quad g(c_m, \varphi) = [1 + \tilde{\beta}(c_m - 1)](1 - \varphi) + R\varphi.$$

Вышеприведенная модель (1)–(8) при подстановке переменных (9) примет вид

$$g(c_m, \varphi) \frac{dc_m}{dx} + a_1 \frac{d}{dx} \left[\Lambda_0(\varphi) \frac{dc_m}{dx} \right] + a_2 \frac{d\varphi}{dx} = 0, \quad 0 < x < \varepsilon, \quad (10)$$

$$T_m = T_0 - c_m, \quad 0 < x < \varepsilon, \quad (11)$$

$$\frac{d}{dx} [(1 - \varphi) c_m] + \frac{d}{dx} \left[(1 - \varphi) \frac{dc_m}{dx} \right] + kc_m \frac{d\varphi}{dx} = 0, \quad 0 < x < \varepsilon, \quad (12)$$

$$G_s + \Lambda_0(\varphi_*) \frac{dc_m}{dx} = \widetilde{L}_V (1 - \varphi_*), \quad \varphi = \varphi_*, \quad x = 0, \quad (13)$$

$$(1 - k) c_m + \frac{dc_m}{dx} = 0, \quad x = 0, \quad \varphi_* \neq 1 \quad \text{или} \quad \varphi_* = 1, \quad x = 0, \quad (14)$$

$$c_m = c_l, \quad \frac{dc_m}{dx} = \frac{dc_l}{dx} = -G_l, \quad \varphi = 0, \quad x = \varepsilon, \quad (15)$$

$$\frac{d^2 c_l}{dx^2} + \frac{dc_l}{dx} = 0, \quad x > \varepsilon, \quad c_l \rightarrow 1, \quad x \rightarrow \infty. \quad (16)$$

Интегрируя сейчас первое уравнение (16) и учитывая граничные условия (15) и (16) при $x = \varepsilon$ и $x \rightarrow \infty$, получим безразмерное распределение концентрации примеси в жидкой фазе

$$c_l(x) = 1 + G_l \exp(\varepsilon - x), \quad x > \varepsilon. \quad (17)$$

Для отыскания концентрационного профиля в двухфазной зоне (при $0 < x < \varepsilon$), найдем производную $dc_m/dx = c_{mx}$ из уравнений (10) и (12) в виде

$$\frac{dc_m}{dx} = \frac{[f_1(\varphi) - f_2(\varphi) c_m] dc_m/d\varphi - f_3(\varphi) - f_4(\varphi) c_m}{f_5(\varphi)}, \quad (18)$$

где

$$f_1(\varphi) = (1 - \varphi) [a_1 \Lambda_0(\varphi) + (\tilde{\beta} - 1)(1 - \varphi) - R\varphi], \quad f_2(\varphi) = \tilde{\beta}(1 - \varphi)^2, \\ f_3(\varphi) = a_2(1 - \varphi), \quad f_4(\varphi) = (1 - k) a_1 \Lambda_0(\varphi), \quad f_5(\varphi) = a_1 \left[(1 - \varphi) \frac{d\Lambda_0}{d\varphi} + \Lambda_0(\varphi) \right].$$

Подставляя теперь производную dc_m/dx из формулы (18) в уравнение переноса примеси (12), получаем стандартную задачу Коши для определения концентрации примеси $c_m(\varphi)$ в области фазового перехода ($c'_m = dc_m/d\varphi$, $df_5/d\varphi = 0$)

$$\frac{d^2 c_m}{d\varphi^2} = \frac{F(c'_m, c_m, \varphi) f_5(\varphi) - (1 - \varphi) h_1(c'_m, c_m, \varphi)}{(1 - \varphi) h_2(c_m, \varphi)}, \quad (19)$$

$$c_m = 1 + G_l, \quad \frac{dc_m}{d\varphi} = \frac{f_3(0) + (1 + G_l) f_4(0) - G_l f_5(0)}{f_1(0) - (1 + G_l) f_2(0)}, \quad \varphi = 0, \quad (20)$$

где введены обозначения

$$h_1(c'_m, c_m, \varphi) = \left[f'_1(\varphi) - f'_2(\varphi) c_m - f'_2(\varphi) c'_m \right] c'_m - f'_3(\varphi) - f'_4(\varphi) c_m - f'_4(\varphi) c'_m,$$

$$h_2(c_m, \varphi) = f_1(\varphi) - f_2(\varphi) c_m, \quad F(c'_m, c_m, \varphi) = (1 - k) c_m - (1 - \varphi) c'_m + c_{mx}(c'_m, c_m, \varphi)$$

и использованы выражения (15), (17) и (18).

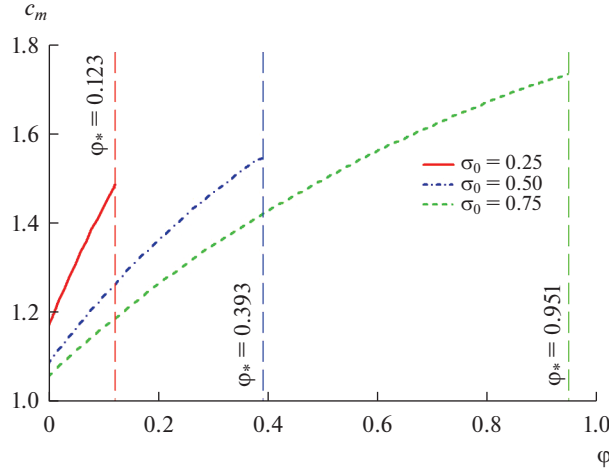


Рис. 2. Концентрация примеси в зависимости от доли твердой фазы в двухфазной области. Вертикальные линии обозначают координату межфазной границы – твердая фаза–двухфазная область, на которой $\phi = \phi_*$. Для расчета использовались параметры: $\lambda_l/\lambda_s = 0.565$, $\tilde{\beta} = 0.75$, $\tilde{L}_V = 0.538$, $R = 0.623$, $k = 0.68$, $a_1 = 4958$, $a_2 = 2.669$, $G_l = 0.057$, $G_s = 0.57$.

Отметим, что при рассмотрении случая $\phi_* \neq 1$, из граничных условий (13) и (14) можно определить пограничное значение концентрации примеси

$$c_m(\phi_*) = \frac{G_s - \tilde{L}_V(1 - \phi_*)}{(1 - k)\Lambda_0(\phi_*)}. \quad (21)$$

Подставляя в левую часть выражения (21) концентрацию примеси из решения задачи Коши (19), (20), определим значение доли твердой фазы ϕ_* на границе твердый материал–двухфазная область.

Далее, из первого выражения (14) следует уравнение

$$(1 - k)c_m(\phi_*) + c_{mx}(\phi_*) = 0$$

для отыскания u_s , в котором $c_{mx}(\phi_*)$ определяется формулой (18). Если теперь $\phi_* = 1$, то скорость кристаллизации u_s находится из условия (13).

Учитывая теперь, что

$$\frac{dc_m}{dx} = \frac{dc_m}{d\phi} \frac{d\phi}{dx},$$

найдем выражения для безразмерной толщины двухфазной области ε и зависимости $x(\phi)$, определяющей распределение доли твердой фазы $\phi(x)$ в двухфазном регионе в виде обратной функции

$$\varepsilon = - \int_0^{\phi_*} \frac{dc_m/d\phi_1}{c_{mx}(\phi_1)} d\phi_1, \quad x(\phi) = \varepsilon + \int_0^{\phi} \frac{dc_m/d\phi_1}{c_{mx}(\phi_1)} d\phi_1, \quad (22)$$

где $c_{mx}(\phi_1)$ и $dc_m/d\phi_1$ подставляются из (18)–(20).

Специально отметим, что аналитическое решение (18)–(22) задачи о квазистационарной кристаллизации двухфазной области с учетом непостоянной плотности жидкости, построено в параметрическом виде (параметром является доля твердой фазы в двухфазном регионе).

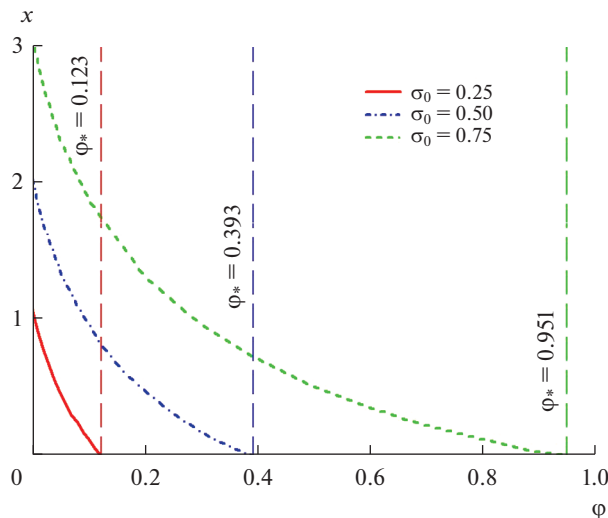


Рис. 3. Зависимость пространственной переменной от доли твердой фазы в двухфазной области. Вертикальные линии обозначают координату межфазной границы – твердая фаза–двухфазная область, на которой $\varphi = \varphi_*$ и $x = 0$.

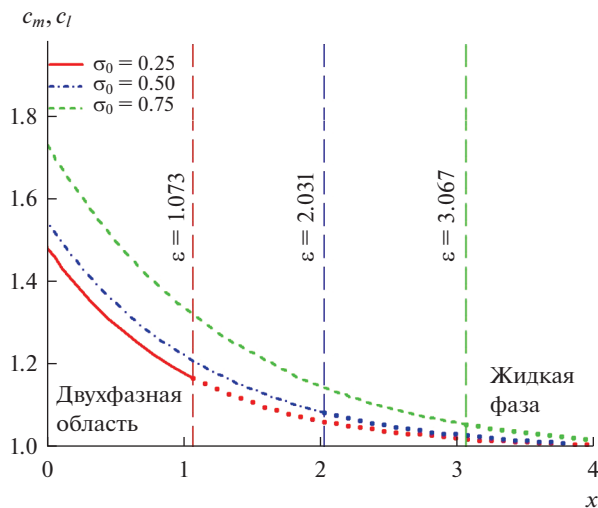


Рис. 4. Концентрация примеси в двухфазной области и жидкой фазе в зависимости от пространственной координаты. Вертикальные линии обозначают координату межфазной границы – двухфазная область–жидкая фаза. Концентрационные профили в жидкой фазе (точечные линии) лежат справа от вертикальных линий при различных концентрациях примеси σ_0 .

ЗАКЛЮЧЕНИЕ

В настоящей статье развито теоретическое описание процесса направленной кристаллизации с областью фазового превращения – двухфазной зоной. На рис. 2–4 показано характерное поведение выведенных в работе аналитических решений (18)–(22).

Поскольку решение построено в параметрическом виде (параметром является φ), на рис. 2 и 3 изображены зависимости концентрации примеси и пространственной координаты от этого параметра: с ростом φ концентрация c_m возрастает, а x — уменьшается. При исключении параметра φ можно построить зависимость концентрации примеси от координаты x , которая показана на рис. 4. Здесь, как и ожидалось, вследствие эффекта вытеснения примеси растущей твердой фазой, c_m с ростом x уменьшается. Распределения концентрации примеси в жидкой фазе, показанные на этом же рисунке точечными линиями, получены с помощью явной зависимости $c_l(x)$ (формула (17)). Отметим, что концентрационные профили в двухфазной зоне $c_m(x)$ и жидкой фазе $c_l(x)$ совпадают на межфазной границе двухфазная область — жидкость ($x = \epsilon$). Увеличение исходной концентрации σ_0 примеси в расплаве приводит к возрастанию протяженности ϵ двухфазного региона и доли твердой фазы φ_* на границе $x = 0$ твердый материал — двухфазная область. Концентрационное распределение σ_s в твердой фазе можно получить из выражения $\sigma_s = k\sigma_0 c_m$, вычисленное на границе $x = 0$, которое возникает вследствие эффекта захвата примеси твердым материалом с коэффициентом распределения k . Отметим, что по известному распределению концентрации примеси в двухфазной области можно легко получить распределение температуры с помощью выражения (11). Распределения же температуры в чисто твердой и жидкой фазах задаются известными температурными градиентами G_s и G_l .

Важно отметить, что развитая теория может быть применена к описанию направленной кристаллизации различных веществ, встречающейся в науках о материалах и природных процессах. Предложенный в настоящей работе метод интегрирования нелинейных уравнений тепло- и массопереноса в двухфазной области может быть обобщен на описание более сложных процессов нестационарного затвердевания или кристаллизации с учетом нуклеации зародышей в метастабильной жидкости в духе ранее развитых теорий [17–19, 24, 25].

Работа выполнена при финансовой поддержке Российского научного фонда (грант 18-19-00008).

СПИСОК ЛИТЕРАТУРЫ

1. Flemings M. Solidification Processing. N.Y.: McGraw Hill. 1974.
2. Chalmers B. Principles of Solidification. N.Y.: Wiley. 1964.
3. Alexandrov D.V., Aseev D.L., Nizovtseva I.G., Huang H.-N., Lee D. Nonlinear dynamics of directional solidification with a mushy layer. Analytic solutions of the problem // Int. J. Heat Mass Trans. 2007. **50**. P. 3616–3623.
4. Kurz W., Fisher D.J. Fundamentals of Solidification // Aedermannsdorf: Trans. Tech. Publ. 1989.
5. Alexandrov D.V., Aseev D.L. Directional solidification with a two-phase zone: thermodiffusion and temperature-dependent diffusivity // Comp. Mater. Sci. 2006. **37**. P. 1–6.
6. Борисов В.Т. Теория двухфазной зоны металлического слитка. М.: Металлургия. 1987.
7. Hills R.N., Loper D.E., Roberts P.H. A thermodynamically consistent model of a mushy zone // Q. J. Appl. Maths. 1983. **36**. P. 505–539.
8. Fowler A.C. The formation of freckles in binary alloys // IMA J. Appl. Math. 1985. **35**. P. 159–174.
9. Alexandrov D.V., Aseev D.L. One-dimensional solidification of an alloy with a mushy zone: Thermodiffusion and temperature-dependent diffusivity // J. Fluid Mech. 2005. **527**. P. 57–66.
10. Aseev D.L., Alexandrov D.V. Unidirectional solidification with a mushy layer. The influence of weak convection // Acta Mater. 2006. **54**. P. 2401–2406.
11. Alexandrov D.V., Malygin A.P. Coupled convective and morphological instability of the inner core boundary of the Earth // Phys. Earth Planet. Inter. 2011. **189**. P. 134–141.
12. Alexandrov, D.V., Malygin, A.P. The steady-state solidification scenario of ternary systems: Exact analytical solution of nonlinear model // Int. J. Heat Mass Trans. 2012. **55**. P. 3755–3762.
13. Alexandrov D.V., Malygin A.P. Self-similar solidification of an alloy from a cooled boundary // Int. J. Heat Mass Trans. 2006. **49**. P. 763–769.
14. Alexandrov D.V., Ivanov A.A., Malygin A.P. Self-similar solidification of binary alloys // Acta Physica Polonica A. 2009. **115**. P. 795–799.

15. Alexandrov D.V., Ivanov A.A. The Stefan problem of solidification of ternary systems in the presence of moving phase transition regions // *J. Exper. Theor. Phys.* 2009. **108**. P. 821–829.
16. Alexandrov D.V., Ivanov A.A. Solidification of a ternary melt from a cooled boundary, or nonlinear dynamics of mushy layers // *Int. J. Heat Mass Trans.* 2009. **52**. P. 4807–4811.
17. Alexandrov D.V., Malygin A.P. Analytical description of seawater crystallization in ice fissures and their influence on heat exchange between the ocean and the atmosphere // *Dokl. Earth Sci.* 2006. **411**. P. 1407–1411.
18. Alexandrov D.V., Malygin A.P., Alexandrova I.V. Solidification of leads: Approximate solutions of non-linear problem // *Ann. Glaciol.* 2006. **44**. P. 118–122.
19. Alexandrov D.V., Nizovtseva I.G. Nonlinear dynamics of the false bottom during seawater freezing // *Dokl. Earth Sci.* 2008. **419**. P. 359–362.
20. Alexandrov D.V., Bashkirtseva I.A., Malygin A.P., Ryashko L.B. Sea ice dynamics induced by external stochastic fluctuations // *Pure Appl. Geophys.* 2013. **170**. P. 2273–2282.
21. Alexandrov D.V., Natreba A.V., Malygin A.P. Time-dependent crystallization in magma chambers and lava lakes cooled from above: The role of convection and kinetics on nonlinear dynamics of binary systems // *Int. J. Heat Mass Trans.* 2012. **55**. P. 1189–1196.
22. Alexandrov D.V., Bashkirtseva I.A., Ryashko L.B. Nonlinear dynamics of mushy layers induced by external stochastic fluctuations // *Phil. Trans. R. Soc. A.* 2018. **376**. Art. no. 20170216.
23. Alexandrov D.V., Ivanov A.A., Alexandrova I.V. Analytical solutions of mushy layer equations describing directional solidification in the presence of nucleation // *Phil. Trans. R. Soc. A.* 2018. **376**. Art. no. 20170217.
24. Aseev D.L., Alexandrov D.V. Directional solidification of binary melts with a non-equilibrium mushy layer // *Int. J. Heat Mass Trans.* 2006. **49**. P. 4903–4909.
25. Aseev D.L., Alexandrov D.V. Nonlinear dynamics for the solidification of binary melt with a non-equilibrium two-phase zone // *Dokl. Phys.* 2006. **51**. P. 291–295.
26. Alexandrov D.V., Malygin A.P. Convective instability of directional crystallization in a forced flow: The role of brine channels in a mushy layer on nonlinear dynamics of binary systems // *Int. J. Heat Mass Trans.* 2011. **54**. P. 1144–1149.
27. Batchelor G.K. Transport properties of two-phase materials with random structure // *J. Fluid Mech.* 1974. **6**. 227–255.

**DIRECTIONAL SOLIDIFICATION WITH A TWO-PHASE ZONE
WITH ALLOWANCE FOR THE DEPENDENCE OF DENSITY OF THE LIQUID PHASE
ON TEMPERATURE AND IMPURITY CONCENTRATION**

D. V. Alexandrov¹, I. V. Alexandrova¹, A. A. Ivanov¹, I. O. Starodumov¹, L. V. Toropova¹

¹*Ural Federal University, Department of theoretical and mathematical physics,
Laboratory of Multi-Scale Mathematical Modeling, Yekaterinburg, Russia*

A quasi-stationary process of directional crystallization of a binary melt with a two-phase region has been studied theoretically. The model takes into account the dependence of the melt density on temperature and impurity concentration. Exact analytical solutions of a nonlinear system of heat and mass transfer equations are obtained. The impurity concentration and temperature profiles, the crystallization rate, and the fraction of the solid phase in the two-phase region are determined. It is shown that with an increase of the initial impurity concentration in the melt, the width of the two-phase region increases.

Keywords: phase transitions, directional crystallization, two-phase region

REFERENCES

1. Flemings M. *Solidification Processing*. N.Y.: McGraw Hill. 1974.
2. Chalmers B. *Principles of Solidification*. N.Y.: Wiley. 1964.
3. Alexandrov D.V., Aseev D.L., Nizovtseva I.G., Huang H.-N., Lee D. Nonlinear dynamics of directional solidification with a mushy layer. Analytic solutions of the problem // *Int. J. Heat Mass Trans.* 2007. **50**. P. 3616–3623.
4. Kurz W., Fisher D.J. *Fundamentals of Solidification* // Aedermannsdorf: Trans. Tech. Publ. 1989.
5. Alexandrov D.V., Aseev D.L. Directional solidification with a two-phase zone: thermodiffusion and temperature-dependent diffusivity // *Comp. Mater. Sci.* 2006. **37**. P. 1–6.

6. Borisov V.T. *Teoriya dvukhfaznoy zony metallicheskogo slitka* [Theory of a two-phase zone of a metal ingot] М.: Metallurgiya. 1987. (In Russian).
7. Hills R.N., Loper D.E., Roberts P.H. A thermodynamically consistent model of a mushy zone // *Q. J. Appl. Maths.* 1983. **36**. P. 505–539.
8. Fowler A.C. The formation of freckles in binary alloys // *IMA J. Appl. Math.* 1985. **35**. P. 159–174.
9. Alexandrov D.V., Aseev D.L. One-dimensional solidification of an alloy with a mushy zone: Thermodiffusion and temperature-dependent diffusivity // *J. Fluid Mech.* 2005. **527**. P. 57–66.
10. Aseev D.L., Alexandrov D.V. Unidirectional solidification with a mushy layer. The influence of weak convection // *Acta Mater.* 2006. **54**. P. 2401–2406.
11. Alexandrov D.V., Malygin A.P. Coupled convective and morphological instability of the inner core boundary of the Earth // *Phys. Earth Planet. Inter.* 2011. **189**. P. 134–141.
12. Alexandrov, D.V., Malygin, A.P. The steady-state solidification scenario of ternary systems: Exact analytical solution of nonlinear model // *Int. J. Heat Mass Trans.* 2012. **55**. P. 3755–3762.
13. Alexandrov D.V., Malygin A.P. Self-similar solidification of an alloy from a cooled boundary // *Int. J. Heat Mass Trans.* 2006. **49**. P. 763–769.
14. Alexandrov D.V., Ivanov A.A., Malygin A.P. Self-similar solidification of binary alloys // *Acta Physica Polonica A.* 2009. **115**. P. 795–799.
15. Alexandrov D.V., Ivanov A.A. The Stefan problem of solidification of ternary systems in the presence of moving phase transition regions // *J. Exper. Theor. Phys.* 2009. **108**. P. 821–829.
16. Alexandrov D.V., Ivanov A.A. Solidification of a ternary melt from a cooled boundary, or nonlinear dynamics of mushy layers // *Int. J. Heat Mass Trans.* 2009. **52**. P. 4807–4811.
17. Alexandrov D.V., Malygin A.P. Analytical description of seawater crystallization in ice fissures and their influence on heat exchange between the ocean and the atmosphere // *Dokl. Earth Sci.* 2006. **411**. P. 1407–1411.
18. Alexandrov D.V., Malygin A.P., Alexandrova I.V. Solidification of leads: Approximate solutions of non-linear problem // *Ann. Glaciol.* 2006. **44**. P. 118–122.
19. Alexandrov D.V., Nizovtseva I.G. Nonlinear dynamics of the false bottom during seawater freezing // *Dokl. Earth Sci.* 2008. **419**. P. 359–362.
20. Alexandrov D.V., Bashkirtseva I.A., Malygin A.P., Ryashko L.B. Sea ice dynamics induced by external stochastic fluctuations // *Pure Appl. Geophys.* 2013. **170**. P. 2273–2282.
21. Alexandrov D.V., Natreba A.V., Malygin A.P. Time-dependent crystallization in magma chambers and lava lakes cooled from above: The role of convection and kinetics on nonlinear dynamics of binary systems // *Int. J. Heat Mass Trans.* 2012. **55**. P. 1189–1196.
22. Alexandrov D.V., Bashkirtseva I.A., Ryashko L.B. Nonlinear dynamics of mushy layers induced by external stochastic fluctuations // *Phil. Trans. R. Soc. A.* 2018. **376**. Art. no. 20170216.
23. Alexandrov D.V., Ivanov A.A., Alexandrova I.V. Analytical solutions of mushy layer equations describing directional solidification in the presence of nucleation // *Phil. Trans. R. Soc. A.* 2018. **376**. Art. no. 20170217.
24. Aseev D.L., Alexandrov D.V. Directional solidification of binary melts with a non-equilibrium mushy layer // *Int. J. Heat Mass Trans.* 2006. **49**. P. 4903–4909.
25. Aseev D.L., Alexandrov D.V. Nonlinear dynamics for the solidification of binary melt with a non-equilibrium two-phase zone // *Dokl. Phys.* 2006. **51**. P. 291–295.
26. Alexandrov D.V., Malygin A.P. Convective instability of directional crystallization in a forced flow: The role of brine channels in a mushy layer on nonlinear dynamics of binary systems // *Int. J. Heat Mass Trans.* 2011. **54**. P. 1144–1149.
27. Batchelor G.K. Transport properties of two-phase materials with random structure // *J. Fluid Mech.* 1974. **6**. P. 227–255.